

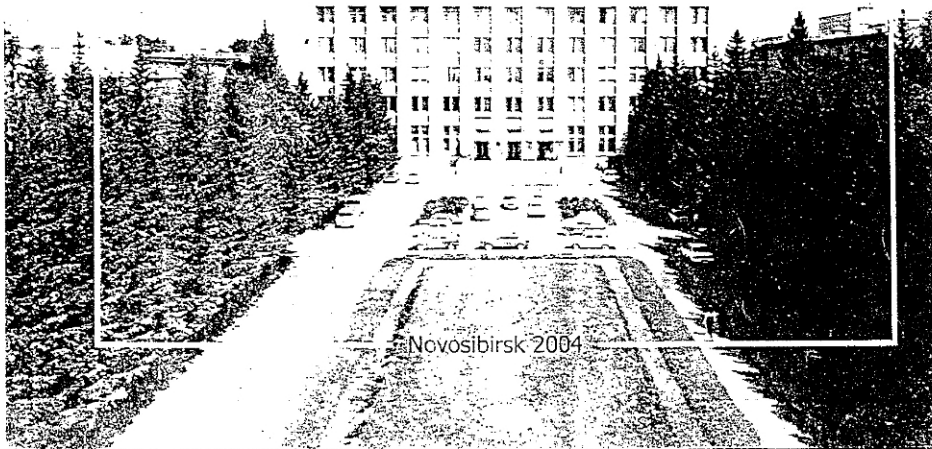
BUDKER INSTITUTE of NUCLEAR PHYSICS SB RAS
SIBERIAN SYNCHROTRON RADIATION CENTER



**DIGEST REPORTS
OF THE XV INTERNATIONAL
SYNCHROTRON RADIATION
CONFERENCE**

July 19-23, 2004, Novosibirsk, Russia

Supported by:
International Science & Technology Center (ISTC)
Ministry of Science and Education of Russian Federation
Russian Foundation For Basic Research (RFBR)
ZAO RTI



СТРУКТУРА CdGeAs₂ - I, Cd_{0.94}Mn_{0.06}GeAs₂ - II

Г.С.Юрьев¹, С.Ф.Маренкин², А.Н.Генцелев³, А.В.Косов³, С.Г.Михайлов², С.А.Вариавский²

¹ИИХ СО РАН, Новосибирск, ²ИОНХ РАН, Москва, ³ИЯФ СО РАН, Новосибирск

Дифракцией синхротронного излучения изучена структура CdGeAs₂ полупроводника, обладающего высокими нелинейнооптическими свойствами [1].

Экспериментальные дифракционные картины снимались с образцов, приготовленных из монокристаллов, полученных направленной кристаллизацией расплава по методу Бриджмена, и регистрировались на дифрактометре θ -2 θ высокого разрешения с монохроматизацией ($\Delta\lambda/\lambda = 4 \times 10^{-4}$) падающего и дифрагированного излучений (см. рис.1). Дифрактометр работает в автоматическом режиме [2], установлен на втором канале ускорителя-накопителя на встречных электрон-позитронных пучках - ВЭПП-3, ИЯФ СО РАН, Новосибирск. При регистрации картин дифрагируемое излучение мониторируется ежесекундно на падающее излучение.

Теоретические дифракционные картины рассчитывались на основании программы Ps.exe [3] с известными [4-6] параметрами кристаллической решетки и координатами атомов в элементарной ячейке (см. рис.2). На рис.1 представлены экспериментальные и рассчитанные дифракционные картины соединений I и II.

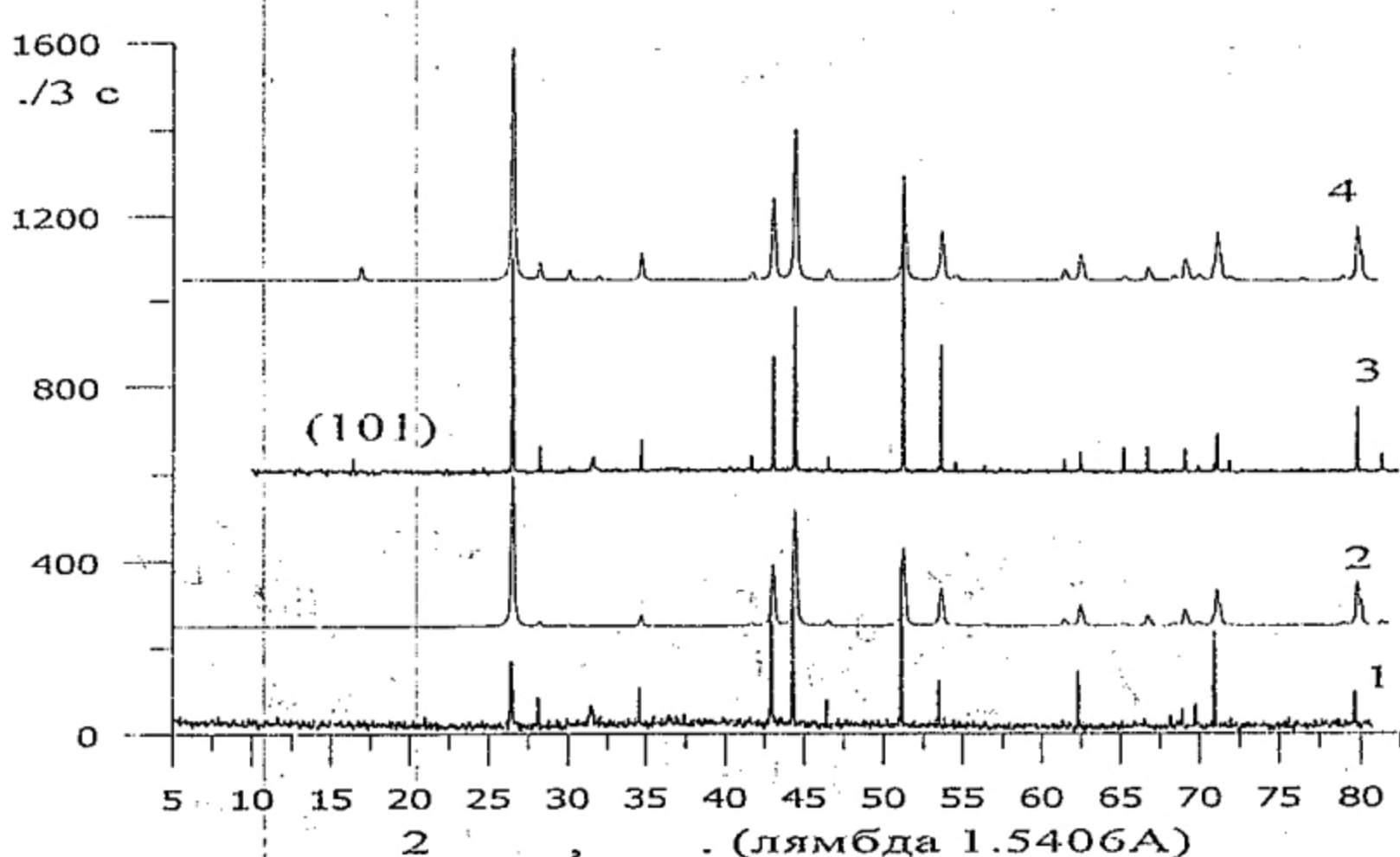


Рис.1. Дифракционные картины образцов CdGeAs₂ - I, Cd_{0.94}Mn_{0.06}GeAs₂ - II. Картини 1, 3 - экспериментальные картины образцов I и II. 2 - Теоретически рассчитанная картина образца I с параметрами [4]. 3 - Теоретически рассчитанная картина образца II с параметрами [4] и рассеивающей способностью атомов Cd равной рассеивающей способности (0.94Cd + 0.06Mn).

Согласно экспериментальным дифракционным картинам (см.рис.1) соединений I и II разница между картинами представлена как более высокой интенсивностью отражений соединения II по сравнению с аналогичными отражениями соединения I, так и относительно

высокой интенсивностью интенсивности отражения (101), которая практически отсутствует в соединении I.

Согласно рассчитанным дифракционным картинам (см.рис.1) соединений I и II разница между картинами, получена аналогичной экспериментальным картинами. При этом картина соединения II рассчитана с заменой 6 мол% рассеивающей способности атома Cd на 6 мол% рассеивающей способности атома Mn, т.е. рассеивающая способность атома Cd представлена как (94 мол% Cd + 6 мол% Mn.).

Рис.2. Схема элементарной ячейки CdGeAs_2 согласно параметрам решетки и координатам атомов в элементарной ячейке [4]. Выделена кристаллографическая плоскость (101), в которой вероятно может находиться атом Mn.

В итоге согласно разнице между экспериментальными и теоретическими дифракционными картинами соединений I и II установлено, что при введении 1%

атомов Mn в структуру образца I, атом Mn замещает в элементарной ячейке (см.рис.2) атом Cd (0.5, 0.5, 0.5) в кристаллографической плоскости (101) и обеспечивает соответствующее повышение интенсивности отражений кристаллографических плоскостей образца II, включающих атом с координатой (0.5, 0.5, 0.5).

[1] В.Ю.Рудь и др. ФГП. 1999, Т.33, №11, С.1320-1322.

[2] Г.С.Юрьев, А.Д.Шапоренко. Материалы «Рентгенография и кристаллохимия минералов». 15 Межд.совещ. 5-19.09.03. СП-БГУ, С.369-371.

[3] W.Kraus, G.Nolze. Powder Cell for Windows, Version2.3 (http://www.bam.de/a_v/v_1/powder/e_cell.html).

[4] V.H.Pfister. Acta Crystallogr. 1958, №11, P.221-224.

[5] А.А.Вайполин. ФТТ. 1973, Т.15, С.1430-1435.

[6] С.Ф. Маренкин, Н.М. Новоторцев, С.Г.Михайлов, К.К. Палкина, В.Т. Калинников, Неорган. мат. 2004, Т.40, № 2, С. 135-137

Юрьев Геннадий Степанович, 630090 Новосибирск, пр. Ак. Лаврентьева, 3,
yurjev@csd.inp.nsk.su

